

نماذج انحلال ملوثات الصرف الصحي  
في الحقل القريب للمصب البحري

الدكتور عادل عووف

أستاذ مساعد في كلية الهندسة المدنية  
جامعة تشرين

يتناول البحث تحليل عمليات توزيع التركيز لمياه المجاري المدينية المصرفية بواسطة مصب بحري، وذلك من خلال وضع نماذج رياضية تستند إلى الظروف الهيدروديناميكية للخلط الدوامي للتبيارات البحرية مع الملوثات بشكل نافورة مائية ( Jet ) وذلك لتقدير انحلال الملوثات في الحقل القريب للمصب، آخذين بعين الاعتبار حالي وسط مائي متجلخ وغير متجلخ. وفي هذا المجال عالجت الدراسة أيضاً حالة النافورة المائية للملوثات في وضعها الغاطس في وسط مائي وبينت مختلف أنواع الرذاذة في المصب البحري من حيث توضع فتحات الرذاذ والتبعاد فيما بينها، وأي من أنواع الفتحات هو الأجدى في تحقيق الانحلال الاعظمي للملوثات وذلك في حالتي البيئة العائمة المتجلخة العميقه والبيئة الفحالة الجارية. وقد دأب الباحثون في دراسة مجال انحلال الملوثات في البيئة البحرية على وضع العديد من نماذج التوزيعات المفترضة لنافورة مياه المجاري المقدوفة في البحر، ومن بين العديد من هذه النماذج اعتمدنا التوزيع المعروف له ( غوص ) وهو الأقرب إلى سهولة الحل واعتماد عليه في استنباط القيم الرياضية النظرية لتوزيع الملوثات من خلال عوامل وأشكال السرعة والتركيز وتناقص الكثافة.

استند البحث إلى المفاهيم الأساسية لقوانين التوازن لمعونة الحجم والحركة والكتلة وتناقص الكثافة، في وضعه للمعادلات الرياضية التحليلية لنماذج النافورة، مما هيأ لعرض المنحنيات النهائية التصميمية لنافورة المائية في الاتجاهين الأفقي والساقي والي وفى أوساط بيئية متجلخة ومختلفة الكثافة. وكان لابد أن يلاحق البحث قذف مياه المجاري اعتباراً من فوهه المصب سواءً أكان من فتحة واحدة أو عدة فتحات في جزء رذاذ وانتهاء بالحقل المعمور لمياه المجاري تحت سطح البحر، موضحاً تأثير شكل المصب وعمق البيئة البحرية على عمل المصب وشكل النافورة وبالتالي على عملية انحلال المياه الملوثة في البيئة البحرية.

١ - مقدمة :

وفي بعض المدن الساحلية العربية والنامية وهناك معالجات مختلفة تتم لهذه المياه الملوثة قبل تصريفها. ويجب أن يتحدد موقع المصبات وأن تصمم بشكل يسمح بضمان الانحلال الكافي للمياه الملوثة وتلاشى

ان تصريف مياه التلوث المدينية والصناعية والنفايات السائلة الأخرى من خلال المصبات البحرية في مياه البحر والمحيطات أمر معمول به في معظم المدن الساحلية في الدول الأوروبية المتقدمة

سطحه آخذة بشكل نافورة مائية جائشة ( Turbulent Jet ) تنسع عند تصاعدها في الوسط المائي المحيط مسببة انحلالاً ( تخفيف التركيز ) مميزاً للمياه الملوثة . والأمر نفسه ينطبق على مياه التبريد المستخدمة في محطات توليد الكهرباء ( المحطات الحرارية أو النووية ) والتي تقل كثافتها عن كثافة مياه البحر .

انقطع الكثافة باتجاه الشاقولي لمياه الوسط المحيط سيتحكم ويضبط قوة التعويم للنافورة من السطح وربما تحكم أيضاً في امكانية تحقيق التوازن للنافورة قبل وصولها السطح . ان النافورة المائية للملوثات أثناء تصاعدها من القاع باتجاه السطح تولد تيارات دوامة محلية في الوسط المحيط مسببة عمليات الخلط والانحلال لهذه الملوثات .

وعندما تصل المياه الملوثة إلى السطح فان هذا يعني أنها أخف من مياه الوسط المحيط ( البحر ) ولذلك فهي ستخضع إلى عمليات الانتشار الجانبي بسبب التناقض التدريجي الأفقي للكثافة . وتقوم الرياح بجرف المواد العائمة لتنقلها باتجاه الشاطئ ، وحركه الأمواج ستزيد من الخلط ( والتهوية ) قرب السطح وسيحدث انتقال كتلة الأمواج انحرافاً بطيئاً للمياه الملوثة في اتجاه حركة الأمواج . وذا لم يكن هناك تيارات ساحلية فإن المياه الملوثة بفعل الرياح والأمواج ستترافق قرب موقع المصب بانتشار وانحلال ضعيفين يعودان إلى الأضطرابات المحلية وفرق الكثافة والخلايا الدورانية المحلية المولدة بواسطة نافورة المياه . ويجب على المصمم عاده أن يعتمد بشكل أساسي على التيارات الساحلية لضمان الانحلال المعين للملوثات عندما تصل إلى سطح البحر . ان الانتشار الجانبي الدوامي للمياه البحر سيسبب خلطاً مستمراً للمياه

الجراثيم في هذه المياه ، وترسيب المواد الصلبة ، والا أن ذلك الى خلق مشاكل تسيء الى بيئه مياه البحر .

وقد وضعت معايير جودة لهذه المياه وذلك في معظم المناطق الساحلية . ان مستوى المعالجة المسبقة لمياه المجاري وتصميم المصبات البحرية يرتبطان بعضهما من بعض من خلال تكاليف ترميم مياه المجاري ( الناحية الاقتصادية ) بالعلاقة مع درجة تخفيف التلوث في الوسط المائي ( الناحية البيئية ) .

ان المشكلات الرئيسية الهيدروديناميكية البحرية تكمن بشكل أساسى في تحديد عمليات الانحلال لتراثي الملوثات ومعدلات التصريف للمياه الملوثة التي تتم من خلال الانتشار الأضطرابي ( الدوامي ) لمياه البحر ، وفي تحديد موقع المصب البحري وتصميمه ، وكذلك في معرفة مواصفات البحر الفيزيائية والديناميكية . ان المياه الملوثة المعرفة في وسط مائي تخضع بشكل عام لأنواع مختلفة من التأثيرات هي :

- التيارات : الدوامة المحلية والتياارات الساحلية وهي تقوم بالمهام الرئيسية في عمليات انتشار الملوثات وتحفيظ تركيزها .

- الأمواج : وتحقق خلط ونقل كتلة الملوثات من مكان إلى آخر .

- الرياح السطحية : وتجرف المسواد الطافية كالزيوت فوق سطح البحر .

وعموماً فإنه في الوقت الذي تساوى فيه كثافة المياه العذبة كثافة المياه الملوثة ( مثل مياه المجاري ) ، فسان كثافة مياه البحر تكون أكبر منها . وهذا هو السبب الذي يجعل مياه المجاري الملوثة الملقاة في البحر تطفو باتجاه

في البحر يعتمد على عمليات فيزيائية عديدة ويمكن ، لأنها من الدراسات الرياضية التحليلية ، أن نصفها في نوعين : الأول يختص بالانحلال في الحقل القريب ( Near - Field dilution ) والثاني يختص بالانحلال في الحقل بعيد ( far - field dilution ) . وسنركز في هذه الدراسة على عمليات الانحلال وتوزيعات التركيز في الحقل القريب من المصب البحري ، وسنتناول في عدد لاحق عمليات الانحلال البعيد .

وأن كل حل تقريري يضمن الوصول إلى دراسة المصبات البحرية من كافة الجوانب المتعلقة بالتوابع الرياضية الهيدروديناميكية وعمليات الخلط والانحلال والانتشار للمعلومات في البحر ، وبشكل علمي ودقيق يجب أن يستند إلى حل معادلات الاستثماري ( المعرفة ) والحركة الهندسية . وان المنهجيين الأساسيين الذين يمكن الاستفادة منهم هما نظام التحليل التفاضلي ( differential analysis ) ونظام التحليل التكاملي - ( integral analysis ) .

ان النظام التفاضلي يقود إلى حل المعادلات التفاضلية الجزئية العامة للحركة ( motion ) والانتشار ( diffusion ) حتى يصل إلى حساب توزيعات السرعة والتركيز . وان نظام التحليل التكاملي يفترض أنه يوجد شكل خاص للانحراف الجانبي ( Lateral variation ) لكل من توزيعات التركيز والسرعة ، وكل النماذج التي سنناقشها تستند بشكل رئيسي إلى التحليل التكاملي . ان تحديد النشاط الهيدروديناميكي البحري يتم من خلال تقسيم عمليات انحلال الملوثات إلى ظاهرتين مستقلتين : الأولى تتعلق بديناميكي المياه والانحلال الناتج للسافورة المائية

الملوثة مع مياه الوسط المحيط عندما تكون المياه الملوثة قد انتقلت من موقع العصب ، بأجل ابعادها عن الشاطئ بواسطة التيارات الساحلية . ومع مرور الوقت فإن كل المواد القابلة للترسيب ستترسب والجراثيم الضارة بفعل عملية التنقية الذاتية لمياه البحر ستتموت . وبذلك يكون من المطلوب والمرغوب به زيادة مدة انتقال الملوثات بين موقع المصب والأماكن التي يمكن فيها لمياه الملوثة أن تسبب مضاعفات أو مشاكل مثل شواطئ السياحة وذلك لضمان ترسيب أعظمي للمواد الصبة وتلاشي الجراثيم وانحلال الملوثات بواسطة الخلط الدوامي . ان تخطيط نظام التصريف الصحي المذكور سابقا يتضمن تحديد ومعرفة الترتيبات المشتركة المتعلقة بالرذاذ وبطولة خط المجرى ودرجة المعالجة التي يجب أن تتفق مع معايير درجات الجودة النوعية المطلوبة بالكلفة الاصغرية . ويمكن أن توضع المعايير كتراكيز أعظمية لبعض الملوثات في المياه بعد معالجتها وصيانتها ، وعلى سبيل المثال تراكيز الكائنات الحية الدقيقة من عصيات الأشيريشيا كولي ( E. Coli ) عند موقع محدد . وفي هذه الحالة سيتضمن التخطيط تقدير التركيز أو التوزيع التكراري لهذه المكونة ( العصيات الجرثومية ) في المصدر المائي ( البحر ) وذلك لموقع مختلفة مختاره للمصب البحري . ويقوم التوزيع التكراري ( Frequency distribution ) على :

- دراسة احصائية للتغيرات الرئيسية . - تقدير معدل انحلال مياه المجاري لكل حالة خاصة بالتغير ( dilution rate ) . ان معدل الانحلال ( انخفاض تركيز مياه المجاري )

المغمور تحت سطح البحر (Submerged field) يمكن أن يصل إلى مستوى أكثر انخفاضاً من مستوى سطح البحر مشكلاً طبقة مياه مجازاً حيادياً "مغمورة" - neutral . ( buoyancy ) ( الشكل 2 ) غالباً ما يلعب هذا التصاعد والارتفاع لحقن مياه الملوثات ضمن مياه البحر الدور الأساسي في تصميم الجزء الرذاذ ( Diffusor ) .

### آ - نماذج النافورة المائية (Jet models) :

تزيد التيارات البحرية المحيطة بعمر المجرى المقدوفة من فوهه المصب من معدل انحلال الملوثات بحيث تفزع جميع النماذج إلى حالة الوسط البحري الذي يحدد هذا المعدل . يتم تصريف مياه المجرى في الوسط البحري في احدى بيئتين :

١ - بيئة بحرية متجانسة (Uniform environment)

٢ - بيئة بحرية غير متجانسة ذات تردد طبقي خطى من حيث الكثافة اي بيئة متدرجة الكثافة خطياً - ( Linearly stratified environment ) .

وعليها فان مياه المجرى تكون أخف من مياه البحر، حيث إن نافورة مياه المجرى تصل دوماً إلى سطح البحر في حال البيئة المتجانسة، وفي حال البيئة المختلفة الكثافة (غير المتجانسة). وعلى امتداد الطبقات المترابطة من القاع حتى سطح البحر فإن كثافة مياه الوسط المحيط تتناقص كلما ارتفعنا عن نقطة المصب عند قاع البحر، ولذلك فان نافورة مياه المجرى ( Jet ) وفي نقطه معينة يمكن ان تصل إلى مستوى مياه محطة تعادلها في الكثافة أو تقل عنها . وفي هذه الحالة تصل النافورة إلى نقطة وهي

العائمة الجياشة والمساعدة من موقع المصب أي دراسة الحقل القريب أولاً والثانية تكمل الاولى بمعنى دراسة تطبيق معادلة توازن الكتلة للخلط الجائش في التيارات الأفقية ( الجانبية ) أي دراسة الحقل البعيد . ونكتفي في تحديد الحقل القريب بطرق التكامل الرياضية وبنماذج ذات بعدين لتحديد الحقل البعيد . وبتركيب الظاهرتين المذكورتين فاننا نستطيع أن نتنبأ بدقة الانحلال ( تخفيف التركيز ) الناتج للمياه الملوثة المصرفه بواسطه المصب البحري .

### ٢ - الانحلال في الحقل القريب :

ان معدل انحلال مياه المجرى يعتمد على استقرار حقل مياه الصرف ( Sewagewater field ) وخاصة تدرج الكثافة عبر المقطع ما بين مياه المجرى ومياه البحر المحيطة . فإذا كان الاختلاف في الكثافة كبيراً فعند ذلك يعاق الخلط الجائش ( الاضطرابي ) ويمكن لمياه المجرى ان ترتفع إلى سطح البحر مشكلة حقولاً سابحاً يتحرك مع التيارات السطحية ويختلط الى انخفاض فشيل في تركيز ملوثاته . ويمكن زيادة خلط حقل مياه المجرى عند قذفها عبر المصب في البحر على شكل نافورة ( Jet ) والذي وجدناه اكثر قرباً من التصورات الواقعية لقذف مياه المجرى في البحر . تجيئ نافورة مياه المجرى حول فتحة المصب على شكل حقل دوامي تزيده اضطراب التيارات البحرية ، واختلاف كثافة مياه البحر بين القاع والسطح الشكل رقم ( 1 ) .

وإذا كانت مياه البحر ذات طبيعة غير متجانسة الكثافة فإنه يمكن أن تمنع مياه المجرى من الوصول إلى سطح مياه البحر . ان حقل مياه المجرى

$U =$  حيث : سرعة النافورة  
 $S =$  محور الاحاديث الشاقولي  
 $r =$  في توزيع غوص .  
 $P =$  محور الاحاديث الافقى  
 $\Delta P =$  في توزيع غوص .  
 $P_m =$  الفرق بين كثافة مياه الوسط  
 $P_a =$  المحيط وكثافة النافورة

$\Delta P = P_m - P$   
 $b =$  طول يحدد من خلال مقطع  
 $w =$  السرعة وعموماً المعرفة بالعرض الوسطي  
 $b = \sqrt{z}$  الاعتباري للنافورة  
 $\lambda =$  نسبة الانتشار بين السرعة والكتلة =  $\lambda$   
 أو نسبة تبادل الكتلة الجائحة الى تبادل  
 قوى الدفع ( كمية الحركة ) وهي تمثل  
 الامتداد العرضي للنافورة ( مرة  $\lambda$  للعرض  $b$   
 $b = \lambda b$  )

ان نسبة الانتشار (  $\lambda$  ) تحسب من  
 خلال الملاحظات والمشاهدات التجريبية التي  
 تبين انتشاراً جانبياً أقوى للكتلة عما  
 هو للسرعة . والقيم المرجعية المسجلة لـ  
 $\lambda$  تتراوح ما بين 1 الى 1.4

ان ادخال عامل نظري سميئناه هنا  
 $\alpha$  ( Coefficient entrainment )  
 هو أمر مطلوب لتحديد الانفتاح التوسيعى  
 لنافورة المياه في الوسط المحيط . وهذا  
 ما يمكن ملاحظته في معادلة مصوّنة  
 الحجم ، وهذا يعني أن انحلال وانتشار  
 النافورة قد حرف بواسطة الجريان في  
 الوسط المائي المحيط غير حدود الـ ( Jet )  
 الى معدل متناسب طرداً مع سرعة الـ ( Jet )  
 عند الخط المركزي ( Centre Line ) .  
 وتعطي المصادر العلمية ( 1 ، 2 ) القيمة  
 التجريبية (  $\alpha$  ) ما بين 0.05 و 0.08

$( 0.05 < \alpha < 0.08 )$  ويحدد  
 هذا العامل أيضاً يشكل مشابه العلاقة بين  
 سرعة الخلط  $V$  عند صدور الاشعاع المعتبر  
 والمدروس والسرعة المحورية المقابلة لـ

الطبقة الحيادية تحت سطح البحر ( النقطة  
 التي تكون فيها كثافة مياه النافورة  
 متساوية لكتافة مياه الوسط المحيط . وهذا  
 يعني استقرار مياه النافورة عند مستوى  
 محدد ) . ومن المعتم أن تحدث حول هذه  
 النقطة بعض التقلبات المائية . ان نافورة  
 المياه سوف تستشعر بالمعود عابرها النقطة  
 الحيادية بسبب تدفق كمية الحركة الشاقولية  
 المتبقية وتتدخل الى منطقة تكون فيها  
 مياه النافورة أثقل من المياه المحطة .  
 وعندما ينتهي تدفق كمية الحركة الشاقولية  
 فان النافورة تعود لتنخفض باتجاه نقطة  
 الطبقة الحيادية . والآن يحرض تدفق كمية  
 الحركة من جديد هذه الكتلة في المياه  
 فتنخفض النافورة المائية تحت النقطة  
 المحيدة داخل المنطقة التي تكون فيها  
 النافورة أخف من المياه المحطة ، وهذا  
 تستمر هذه العملية معدداً وهبوطاً .  
 ويحدث من خلال هذه الذبذبات بعض  
 الانحلال لمياه المجاري في النافورة .  
 ويسمى المستوى الذي تستقر مياه المجاري  
 أخيراً (  $Z_t$  ) بالمستوى النهائي  
 $( Terminal level )$  . ومن الطبيعي  
 أن نفترض لسهولة الحل أن أشكال  
 السرعة (  $U$  ) والتركيز (  $C$  ) وتناقص  
 الكثافة (  $P$  ) متشابهة على كل  
 المقطع في قوس النافورة ( Jet trajectory )

التوزيعات العامة مشابهة لهذه الأشكال  
 وأقرب للتعبير عنها فعلاً هو توزيع  
 غوص الذي اعتمدناه في هذا المجال  
 وفيما يلي معادلاته ، الشكل رقم 3

$$U(S, r) = U_m(s) \exp(-r^2 / b^2) \quad (1)$$

$$C(S, r) = C_m(s) \exp(-r^2 / b^2) \quad (2)$$

$$\Delta P(S, r) = \Delta P_m(s) \exp(-r^2 / (\lambda b)^2) \quad (3)$$

$$\frac{d}{ds} \int_0^{\infty} 2\pi r (p_a - p) g u dr =$$

$$2\pi b \alpha U_m (p_a - p_n) g$$

$$\frac{d}{ds} (U_m b^2 \Delta P_m) =$$

$$\frac{1 + \lambda^2}{\lambda^2} \cdot b^2 \cdot U_m \cdot \frac{d P_m}{ds} \quad (7a)$$

وفي حال الوسط المتتجانس باهتمال تغير الكثافة مع العمق فان المعادلة تصير :

$$\frac{d}{ds} (U_m b^2 \Delta P_m) = 0 \quad (7b)$$

- مصونية الكتلة (Conservation of mass) :

أو ( تركيز الملوثات ) :

$$\frac{d}{ds} \int_0^{\infty} 2\pi r C_u dr = 0$$

$$\frac{d}{ds} (C_m U_m b^2) = 0 \quad (8)$$

- وبالانتقال من محاور النافورة (r, s) الى المحاور الأساسية الممثلة للوسط البحري (x, z) نحصل على العلاقات الهندسية التاليتين :

$$\frac{dx_m}{ds} = \cos \theta \quad (9)$$

$\frac{dz_m}{ds} = \sin \theta \quad (10)$   
ان المعادلات الواردة من الرقم 4 حتى 10 تعالج تحليليا اشعاعات المياه المتضائدة الطافية بقوى دفع وحركة جيشان كاملة وذلك في وسط غير متتجانس (متراكم في طبقات الكثافة) وتكون حركة النافورة بامتداد جانبي كبير جدا يصح عليها ملامسات بسيطة اعتبارية لطبقات الكثافة وبحسب فرضية بواسونك

$V = \alpha \cdot U_m$  بالشكل التقريري

ولوضع نماذج النافورة المائية بشكل رياضي اعتمدنا دراسة المقاطع الجانبية لمنحنيات تركيز الملوثات وسرعة النافورة وتناقص الكثافة البحرية ، في وسط بيئي غير متتجانس ، مما اوصلنا الى المعادلات التالية المبنية على قوانين التوازن لمصونية الحجم والحركة وتناقص الكثافة وعلى قانون مصونية الكتلة . الشكل رقم ٣ .

- مصونية الحجم : ( الاستمرارية )

Continuity

$$\frac{d}{ds} \int_0^{\infty} 2\pi r u dr = 2\pi b \alpha U_m \quad (4)$$

$$\frac{d}{ds} (U_m b^2) = 2\alpha U_m b$$

- مصونية كمية الحركة ( جريان )

الدفع بالاتجاه الافقى ( horizontal impulsflow or momentum conservation )

$$\frac{d}{ds} \int_0^{\infty} 2\pi r p_u (u \cos \theta) dr = 0 \quad (5)$$

$$\frac{d}{ds} (\frac{1}{2} u_m^2 b^2 \cos \theta) = 0$$

- مصونية كمية الحركة ( جريان )  
الدفع بالاتجاه الشاقولي ( vertical impuls-flow )

$$\frac{d}{ds} \int_0^{\infty} 2\pi r p_u (u \sin \theta) dr =$$

$$g \int_0^{\infty} 2\pi r (P_e - P) dr \quad (6)$$

$$\frac{d}{ds} (\frac{u_m^2 b^2 \sin \theta}{2}) = g X^2 b^2 \Delta P_m / p_a$$

- مصونية تناقص الكثافة او ( تيار الطفو ) لوسط غير متتجانس ( Conservation of density deficiency )

$$C_m \cdot U_m \cdot b^2 = \text{Const.} = C_o \cdot U_o \cdot b_o^2 \quad (12)$$

المؤشر (0) يدل على بدء نقطة التصريف .  
- ومن المعادلتين (11) و(12) نلاحظ  
أن انحلال الملوثات (dilution) عند  
خط المركزي ( $S_m$ ) يمكن أن يرتبط  
بتناقص الكثافة  $P \Delta$  على النحو التالي :

$$S_m = C_o / C_m$$

ان نظام حل المعادلات التفاضلية المذكورة لا يمكن أن يتم بشكل تحليلي اعتيادي . ويجب أن يتم تكامل المعادلات بطرق عدديّة وعلى سبيل المثال بواسطة طريقة التكامل من الدرجة الرابعة والمعروفة باسم رونج - كوتا (Rung - Kutta )

واليتي سنعرض نتائجها لاحقا . ان نظام المساواة المطروح سابقا ( المعادلات السبع ) يمكن أن يطبق لحساب حقل التدفق لشعاعات

( Boussinesq ) وهو اختلاف صغير في الكثافة ) مع اهمال النتوءات "شذوذات الحركة ) في محور شعاع مياه النافورة ( الشكل رقم 3 ) .

في استخراجنا للمعادلات السابقة  
اعتمدنا على مفاهيم علمية تشرحها  
كل معادلة كما يلي :

\* ان معاadle الاستمراريه ( 4 )  
 ( مساوية لنظرية الخلط ) تقول ان تزايد  
 الحجم في اتجاه اشعاعات المياه يجب  
 ان يساوي التدفق المختلط الجانبي في  
 كل وحدة طول \*

\* المعادلة ( 6 ) تبيّن أن تزايد خط الدفع ( كمية الحركة ) في الاتجاه الشاقولي يساوي قوى الدفع الفعالة ( دافعة أرخميديس ) لكل وحدة طول في حين أن خط الدفع بالاتجاه الأفقي وبغياب القوى الخارجية يبقى ثابتاً بحسب فرضية المصدر ( 5 ) . المعادلة ( 7a ) تقوم على أن تغيير خط الدفع ( قوة الطفو في كل وحدة زمن ) منسوباً إلى الكثافة  $\rho$  يساوي قوة الرفع لكل وحدة طول من تدفق الحجم المختلط .

وفي حال وسط متتجاش فان خط الرفع يكون ثابتا (المعادلة 7b) المعادلة

(8) تعتمد على أن خط الحجم المصنون ( مصونية الكتلة . وبمعنى أكثر وضوحا عدم خفوع الملوثات فيها لأي عملية هضم ) لمستوى حيادي متجرد خاص بتركيز الحجم C يكون على طول شعاع النافورة ( Jet ) ثابت . وفي حالة الصب غير العمودي لشعاعات النافورة فان محور الاشعاعات يكون على شكل منحر مقوس .

\* المعادلتان ( 9 و 10) تحددان موقع محور الاشعاع من خلال العلاقات الهندسية الواضحة لمنحي النافورة

وبوسع  $\lambda = 1$  و  $\lambda = 0.056$  وبحسب المدرس ( 4 ) فان النتيجة تعطى بال الحال التالي : فلأجل الانحلال عند الخط المركزي:

$$S_m = 0.54 F_o \left( Z / (D_o F_o) \right)^{7/16} \text{ for}$$

$$\frac{Z}{D_o} < 0.5 F_o \quad (14)$$

$$S_m = 0.54 F_o (0.38 \frac{Z}{D_o F_o} + 0.66)^{5/3} \text{ for}$$

$$\frac{Z}{D_o} > 0.5 F_o \quad (15)$$

حيث يعطى عدد فرود ( كمقياس الكثافة ) :

$$F_o = U_o / \sqrt{(\Delta P_o / p_o) \cdot g \cdot D_o}$$

ويمكن أن يعلل هذا العدد بنسبة خط الدفع ( كمية الحركة ) الى رفع ( دافعة أرخميدس ) مياه الصب . ويمكن أن يستنتج منها انه في حال العدد الحر التقليدي ( شعاع الدفع بدون رفع ) يكون  $F_o = 0$  . وفي حال اشعاع الرفع فقط دون دفع يكون  $F_o = 0$  .

حيث ان :

قطر النافورة ( jet ) عبر نقطة

$$\text{التعريف } D_o =$$

$$U_o (Q_o / \frac{\pi D_o^2}{4})$$

سرعة التصريف

غزاره التصريف

الجاذبية الارضية

بعد الشاقولي من نقطة التصريف

ونجد أن انحلال الملوثات ( dilution )

يمكن ان يعبر عنه بعاملين وسطيين لا واحدة لهما :  $\frac{Z}{D_o}$  و  $F_o$  . وعدد فرود  $F_o$  ( كمقياس الكثافة ) يصف النسبة بين كمية الحركة للتصريف الابتدائي والتسارع الابتدائي المحرق بواسطة دافعة الطفو ولاجل سرعات تصريف صغيرة فان  $F_o$  تكون صغيره

مياه المجاري الدائرية المرفوعة والمصحوبة بقوى دفع وذلك لأجل أي فتحات ردادية على المصب ولاجل اي وسط متجلان .

الشكلان ( 4 و 5 ) يعرضان الحلول لحالة تدفق أفقي في وسط متجلان وهو يعطيان معلومات هامة جداً عن حقل تدفق مياه المجاري لمصبات بحرية في وسط هادئ متجلان وبذلك تستفيد منهما في حل المعادلات السابقة لوسط بحري غير متجلان . الشكل 4 يمثل منحى محور الاشعاعات لأعداد فرود مختلفة . في الحالة الحدية  $F_o = 0$  ( اشعاع رفع أو طفو فقط ) فان محور الاشعاع يتطابق مع المحور  $Z$  ، ومع تزايد عدد فرود - بمعنى تزايد أهمية خط الدفع الأفقي - فان الاشعاع سيأخذ الوضع الجانبي ولكنه يميل دوماً ليأخذ الوضع الشاقولي في النهاية .

في حالة اشعاع دفع أو كمية حركة فقط أي  $F_o = 0$  = لانهاية عند ذلك يتطابق محور الاشعاع مع المحور  $X$  . وفي الشكل 5 تجد أن قيم الانحدار ( تخفيف التركيز للملوثات في مياه المجاري ) (  $S$  ) بالعلاقة مع الارتفاع التصاعدي (  $Z/D_o$  ) ومع عدد فرود ممثلة بوضوح ، والقيمة (  $S$  ) معرفة هنا كنسبة مقلوبة لتركيز الملوثات الى التركيز الأصلي  $C_0$  عند فتحة الرذاذ وعلى محور الاشعاع وفق ما يلي :

$$S_m = C_0 / C_m$$

ان حلولاً تحليلية تجريبية قد مثلت للمعادلات التفاضلية المذكورة سابقاً في المدرس ( 4 ) و ( 5 ) . فمن خلال انتاج علاقة تجريبية نصفية للقوس ( Jet trajectory ) ( النافورة )

في تصويب قيمها العددية التحليلية من نتائج المصرين ( 8, 9 ) اللذين عالجا وبشكل خاص المصدر 9 موضوع منحنيات النافورة المائية بشكل تجريبي . كما أفادنا من قيم الحلول التجريبية للمصرين

( 4 و 5 ) .

والشكلان رقم 7 و 8 يعطيان الحلول ( مسار النافورة ، العرض النصفى للنافورة ، انحلال النافورة ) لنافورة دائرية في بيئة مستقرة متجانسة  $dpa / dz = 0$  الاشكال 9 , 10 , 11 تعطى الحلول ( عوامل الانحلال النهائية ) لنافورة دائرية في وسط غير متجانس متغير خطيا مع الكثافة  $dpa / dz \neq 0$  .

فيما يلي نقدم شرحا تحليليا لمنحنيات السابقة مع ايراد العلاقات التصميمية الخاصة بها وذلـك ضمن المحاور الأساسية ( XZ ) ، وفي حالتى نافورة مائية في بيئة متجانسة ونافورة مائية في بيئة غير متجانسة

#### ١ - نافورات دائرية في بيئة متجانسة :

الشكل رقم 7 يمثل منحنى المسارات لنافورات أفقية يتغير فيها عدد فروع  $F_0$  من 1 حتى 128 . الخطوط المقاطعة في الشكل تجعل من الممكن تحديد قيم العرض المختلفة ( b ) وعلى طول محور النافورة  $m_0$  . كعامل بدون واحدة يصف خط المكونة الابتدائية في النافورة . وترتبط  $m_0$  بـ

$$m_0 = 0.374 F_0^{4/5} \quad ( 17 )$$

الشكل رقم 8 يعطي الانحلال المركزي كتابع لـ  $Z$  و  $m_0$  وعندما تكون قيم الانحلال عند  $\sqrt{m_0}$  اكبر من 50 فنحصل عند ذلك على قيمة  $S_m$  من العلاقة :

$$S_m = 0.46 Z^{5/3} \quad ( 18 )$$

المحاور  $Z$  و  $m_0$  والتي هي في شكل غير ممierz

وي يمكن ان نختصر المعادلة ( 15 ) الى الشكل التالي :

$$S_m = 0.108 F_0^{-2/3} ( Z / D_0 )^{5/3} \quad ( 16 )$$

ويلاحظ انه مادام  $F_0$  متناسب طرديا مع  $D_0^{-5/3}$  لتصريف معطى ، فعند ذلك الانحلال  $S_m$  يكون مستقلـا عن  $D_0$  . المصدر ( 5 ) ، من جهة أخرى ، يفترض ان قيم  $\lambda$  و  $\mu$  مرتبطة بزاوية النافورة المحلية  $\theta$  . ولكن نرى من الشكل 6 أن الفارق بين الحللين التجريبيين عن طريق المصدر ( 4 ) والمصدر ( 5 ) يكون صغيرا .

وهذا يعني أن الحللين متقاربان جدا ، والمصدرين ( 6 ) و ( 7 ) يعطيان أيضا بالتفصيل النتائج المخبرية الخاصة بقيم  $\lambda$  و  $\mu$  ان المعادلات النهائية الخاصة بتصرف النافورة في بيئة غير متجانسة تعتبر أكثر تعقيدا من التصرف في حالة البيئة المتجانسة . التحليل السابق لنتائج الاشكال ( 4 , 5 , 6 ) وتقارب نتائج مصادرها الى درجة تقترب من التطابق يدلـنا على مواب اعتمادنا عليها لاستقراء وتقدير قيم انحلال الملوثات في الوسط البحري غير المتجانس .

#### ب - منحنيات النماذج الرياضية

التقديرية لانحلال :

مجموعة الحلول العددية الشاملة لمجمل المعادلات التفاضلية السابقة مثلتها في منحنيات نهائية متضمنة النافورات ( Jets ) المائية الدائرية في اتجاهين وفي اوساط بيئية متجانسة وغير متجانسة ( تغير الكثافة مع العمق ) وأخذت هذه المنحنيات الاشكال ذات الارقام ( 7 , 8 , 9 , 10 , 11 ) والتي استخدمنا

$$x / D_0 = \mu \quad (25)$$

$$z / D_0 = \frac{1}{2} \mu^2 \quad (26)$$

عامل المقياس  $\mu$  يرتبط بـ  $F_0$  و  $T$  بالعلاقة

$$\mu = 1.37 F_0^{1/4} \cdot T^{3/8} \quad (27)$$

ويمكن أن يحسب نصف عرض النافورة عند المستوى النهائي

(Jet terminal half width) (Wt)

بالعلاقة :

$$Wt = 0.232 \sqrt{D_0} \cdot \mu^{1/4} \quad (28)$$

المؤشر  $t$  يعود إلى النقطة النهائية

(terminal point)

ج - دراسة الطبقات السطحية من النافورة

الغاطسة ( المغمورة تحت سطح البحر ) :

وحتى تكتمل دراسة النماذج الرياضية لنافورة المائية فإنه يلزمنا تحديد سماكة طبقة الحقل المغمور لمياه المجاري تحت سطح البحر ، والممثل لنهاية امتداد النافورة .

إذا وصلت النافورة الغاطسة في المياه

( Submerged Jet ) إلى سطح البحر فعند ذلك يمكن لها أن تنتشر في الطبقة العليا من المياه . ويمكن أن يكون للنافورة طاقة مصوينة متبقية عند وصولها إلى السطح . وعند هذه الحالة لن تستقر على السطح وإنما أيضاً تتحرك أفقياً بسرعة تعتبره بسبب الطاقة الكامنة التي تملكها . إن حقل مياه المجاري أو امتداد إلى سطح المياه ستبقى كثافته أقل من كثافة الوسط المحيط وبالتالي سيؤدي ذلك إلى انتشار جانبي لمياه المجاري ( الملوثات ) بسبب انحدار الكثافة الأفقي . وحتى الآن لا تتوفر أجهزة خاصة كافية تمكّناً من تحديد سرعة

بوحدة والممثلة في الشكلين 7 و 8 محددة في المنحنيات ، بمعنى أن المحاور الفيزيائية X و Z ترتبط بـ  $\mu$  وبالشكل التالي :

$$X / D_0 = 4.32 \sqrt{m_0} \quad (19)$$

$$Z / D_0 = 4.32 \frac{1}{2} \sqrt{m_0} \quad (20)$$

٢ - نافورات دائرية في بيئة غير متجانسة ( متغيرة الكثافة خطياً ) :

في هذه الحالة يكون من الضروري تعريف عدد أكبر من الوسطاء ( العوامل ) . فالانحلال S يميز من خلال العامل  $\mu$  والذي هو عامل يصف الدفق الحجمي :

$$S = 1.15 \mu / \mu_0 \quad (21)$$

والعاملان  $\mu_0$  ،  $m_0$  ( عامل الدفق الحركي ) يرتبطان بدورهما بالعامل T الذي يقف الوسط غير المتجانس ( متدرج الكثافة ) :

$$T = \frac{P_{ao} - P_0}{-D_0(dpa/dZ)} = \frac{\Delta P_0}{-D_0 \cdot U_1} \quad (22)$$

وبالإضافة إلى  $\mu_0$  و  $m_0$  تعتمد على  $F_0$  و T معاً ، فتصبح العلاقة كما يلي :

$$m_0 = 0.324 F_0^2 / T \quad (23)$$

$$\mu_0 = 2.38 F_0^{1/4} / T^{5/8} \quad (24)$$

وأكبر من ذلك فإن عامل المقياس S يمكن أن يحدد من خلال الأبعاد الأفقيتين والشاقوليتية  $\frac{X}{D_0}$  و  $\frac{Z}{D_0}$  الخالية من الوحدات ( أي في شكل غير معين ) بالشكل التالي :

الطاافية (buoyant jet) بقيمة منخفضة لعدد فرود (كمقياً الكثافة) والمتوسطة في مياه عميقه تنتج طبقة سطحية مستقرة. وهي حالة تعكس من تحديد الانحلال في الحقل القريب وبدقة مقبولة بواسطة النماذج المشروحة سابقاً (الشكل 12). حتى نؤكد الخلط الشاقولي الفعال وبالضبط بدءاً من الحقل البعيد (far - field) والذي يعتبر المجال الرئيسي الفعال لعمل النافورة، فإنه يجب تخفيض تناقض الكثافة (density deficiency) حتى قيمة معينة. فالمصدر (11) اقترح قيمة حرجة 0.5 كغ / م³ وتحت هذه القيمة تستطيع التيارات المضطربة الدوامة للوسط المحيط أن تكسر الترابط أو التداخل ما بين مياه المجاري ومياه البحر. وهذا يعني أنه لأجل مياه بحر بكثافة 1025 كغ / م³ ومياه مجاري بكثافة 1000 كغ / م³ فإن قيمة انحلال مياه المجاري عند السطح ستكون 50%. إن قيمة  $S_m = 50$  تبدو كفاضط تعميمي يمكن أن يوصى به على الأقل لتجاوز مشكلة النقص في الحصول على التحاليل الكافية للموضوع المطروح أعلاه.

#### د - المصب الرذاذ عديد الفتحات:

##### Multipoint diffusers

إن تصريف مياه المجاري من خلال مصب رذاذ عديد الفتحات يمكن أن يكون الطريق الوحيد لتحقيق متطلبات انحلال الملوثات في الحقل القريب. وتعرف بنحوية التصريف لهذه المياه في هذا الجزء الرذاذ المتعدد الفتحات المحدد بخروج مياه المجاري من المصب البحري من خلال سلسلة فتحات صغيرة متتالية في الجزء الأخير من المصب. إن فعالية الرذاذ تكون في زيادة الانحلال الابتدائي بواسطة تصريف مياه العجاري على حجم واسع من وسط المياه البحرية المتلقية. إن معظم نظم

انتشار حقل مياه المجاري. المصدر (10) يعطي ملاحظات استكشافية من خلال سلسلة من التجارب العديدة والمكثفة في مياه البحر والتي تبين بالنتيجة أن السماكة الوسطية للطبقة المتكثنة على السطح كانت تساوي تقريباً  $\frac{1}{12}$  من طول النافورة المقيدة على طول المحور من نقطة التصريف (فتحة المصب البحري) حتى سطح المياه (عمق المصب تقريباً) . وفي حالة نافورة مائية صغيرة ضيقة (Slot Jet) المصدر (5) تعطي سماكة الطبقة متساوية إلى حوالي  $\frac{1}{4}$  من طول خط مسار النافورة. وحتى يمكن لنا حساب السماكة الشاقولية الابتدائية لحقل مياه المجاري عند مركزه، وضمن العلاقة التالية التي ترتكز على حالات الاستقرارية للجريان الكلي (مياه المجاري + مياه الوسط) :

$$S_m \cdot Q_0 = U_h \cdot d \cdot B$$

سماكة الحقل بالเมตร  $d =$

غزارة التصريف  $3\text{m}/\text{ثانية} = Q_0$

درجة الانحلال الوسطية

عند مركز الحقل  $S_m =$

سرعة التيارات الأفقية  $U_h =$

طول الجزء الرذاذ  $B =$

(B يساوي عدد الفتحات للرذاذ «البعد بين كل فتحتين متتاليتين»).

إن حقل مياه المجاري سيكون له عرض  $h$  يساوي عند البدء تقريباً طول مقطع الجزء الرذاذ والذي يحدد عادة من  $y_0/3$  حتى  $y_0/4$  ويكون متوضعاً على طول الخط الطبيعي لاتجاه التيارات.

وهذه نقطة مفيدة ومهمة عند دراسة الانتشار الجانبي (Lateral diffusion) للحقل في المجال البعيد (far - Field) (الشكل رقم 12) . إن النافورة

المائية كوحدة مستقلة تصل الى حلول مياه المجاري وتدخله ام انها تتحدد كلها ( نافورات الفتحات ) معا لتشكل سطحا شعاعيا واحدا ( الشكل 13 ) . فيما يلي نعرض لدراسة تأثير عمق البيئة البحرية على عمل الجزء الرذاذ وبالنالي على احلال الملوثات .

١ - الجزء الرذاذ الغاطس في بيئة مائية مستقرة متجانسة عميقه :

الشكل رقم 14 يبين نتائج سلسلة تجارب مخبرية مكثفة جاءت في المصدر ( ٦ ) ؛الجزء الرذاذ فيها مؤلف من فتحات موضوعة باتجاه تبادلي . ومن حيثيات الشكل تعطي احلال التركيز ( تمدد التركيز ) عند الخط المركزي (  $S_m$  ) كتابع ل  $\frac{Z}{L}$  . الخطوط السفلية من الشكل رقم ( 14 ) توصلنا إلى نتيجة وهي أنه في حالة نافورة افرادية ( Single jet ) ولأجل  $5 < \frac{Z}{L} < 1$  فإنه ليس هناك اختلاف معين في قيم الانحلال ( dilution ) .

المعطيات التي جاءت في المصدر ( ٦ ) تشير إلى ان الارتفاع (  $Z_m$  ) والذي عنده تطفو النافورة يمكن أن يحدد تقريبا من العلاقة :

$$Z_m = F_0 \cdot L \quad (29)$$

فعلى سبيل المثال وعندما نفترض أن القيم تكون كما يلي :

$$F_0 = 10$$

$$Z = 20 \text{ m} \quad D_0 = 0.3 \text{ m} \quad L = 1.5$$

$$\frac{Z}{L} = \frac{20}{1.5} = 13.3$$

$$\frac{Z/D_0}{F_0} = \frac{20/0.3}{10} = 6.7$$

من الشكل رقم 14 نقرأ من القيميتين السابقتين ما يلي :

لرذاذ المتعدد الفتحات تكون في تصرير ل المياه الملوثة بالاتجاه الأفقي وذلك زيادة مساحة النقل الى القيمة الاعظمية وبالتالي زيادة فعالية الانحلال قبل أن تصل المياه الملوثة الى السطح . وغالبا ما توضع الفتحات في اتجاهات متبادلة اي فتحة تقع في اسفل الرذاذ والتالي في أعلى ، والتي تليها فتحة في الاسفل وهذا الخ ..... وفي مثل هذا التنظيم المتبادل للفتحات من جهتي الرذاذ فإن المياه الخارجة منها تتشكل مستويين اشعاعيين يتحددان في النهاية ليشكلا مستوى شعاعي واحدا . وإذا كانت الفتحات بعيدة بعضها عن بعضها البعض بشكل كاف حيث إن مياه الملوثات الخارجة من الفتحات المنفصلة ( كل على حدة ) لا تلتقي بعضها عن بعض قبل وصولها السطح ، فعند ذلك فإن النماذج السابقة المطروحة لنافورات دائيرية تكون قابلة للتطبيق مباشرة من أجل تحليل ودراسة كل فتحة على حده . أما إذا كانت المسافة بين الفتحات ( L ) صغيرة كفاية مقارنة بعمق المصب ( Z ) فعند ذلك تتطابق النافورات كليا أو جزئيا . وان مثل هذا التداخل في النافورات سيخفض من درجة الانحلال لملوثات مياه المجاري ولذا يجب طبعا قدر الامكان تجنبه ( الشكل رقم 13 ) .

ان استخدام فتحات عديدة باقطار أصغر مع ثبات مساحة الجزء الرذاذ الحامل لهذه الفتحات دون تغيير سيزيد من قيمة فعالية عملية الانحلال (  $S_m$  ) . ان تصرير مياه المجاري من خلال اشعاعات عديدة دائيرية في سلسلة فتحات موجودة على الجزء الأخير من المصب البحري يلزم أن يختبر تبعا للمعطيات العملية المتوفرة لأجل تحديد أبعاد الفتحات L وارتفاع صعود النافورة المائية ، ومراتبة ما إذا كانت النافورة

أسفلو أعلى جريان النافورة . وبالتعبير عن أن الطاقة الداخلة المغذية للنظام من تصريف النافورة المائية تعادل ( توان ) الفوائد الحاملة عند طرفي القناة ( المدخل والمخرج ) وبذلك توصل الباحثون في المصدر ( 15 ) إلى العلاقة التالية للانحلال :

$$S = 1.3 \sqrt{\frac{L d}{D_0^2}} \quad (30)$$

حيث  $d$  عمق الوسط المائي .

العلاقة ( 30 ) تنطلق من حالة مثالية وهي أن الجريان المعرض فيها يكون كبيراً بشكل كاف لمنع ثبات كتلة الملوثات حول الجزء الرذاذ . وعلى أساس هذه النتيجة فإن الباحثين ( المصدر 15 ) طوروا نماذج انحلال للتصريف داخل مقطع جريان ثابت خلال جزء رذاذ . وقد استندت التحاليل إلى نفس الاعتبارات الطاقية المذكورة سابقاً . والآن إذا ما أضيفت إلى هذه النماذج فوائد الاحتكاك عند قاع الوسط المائي ، نحصل على النتائج التالية :

في حالة الفتحات المتوضعة كلها باتجاه

تيار الوسط المحيط :

$$S = \left[ \left( 4u_1 L d \right)^2 / \left( \pi u_0 D_0^2 \right)^2 + \frac{8 L d}{\left( 3 \pi D_0^2 \right)^{\frac{1}{2}}} \right]^{\frac{1}{2}} \quad (31)$$

وفي حالة الفتحات المتوضعة كلها يعكس اتجاه تيار الوسط المحيط :

$$S = \left[ \left( 4u_1 L d \right)^2 / \left( u_0 D_0^2 \right)^2 - \frac{8 L d}{\left( 3 \pi D_0^2 \right)^{\frac{1}{2}}} \right]^{\frac{1}{2}} \quad (32)$$

وفي حالة الفتحات المتوجهة يشكل تبادلي :

$$S = 4 u_1 L d / \left( \pi u_0 D_0^2 \right)^{\frac{1}{2}} \quad (33)$$

حيث  $u_1$  سرعة تيار الوسط المحيط .

$$\frac{Z / D_0}{S_m} = 2.5$$

$$\frac{Z}{S_m} = 20 / 0.3 / 2.5 = 26.7$$

إذا زادت قيمة (  $L$  ) بعد بين الفتحات إلى 4.5 متر فعند ذلك

$$4 = \frac{20}{4.5} = \frac{Z}{L}$$

ومن الشكل 13 نجد :

$$( Z / D_0 ) / S_m = 1.4$$

أي أن :

$$S_m = 47 . 6$$

وكما هو متوقع ، يتحقق انحلال أكبر من خلال بعد أكبر بين فتحات الرذاذ ، وطبعاً فإن زيادة المسافة بين الفتحات يعني تكاليف أكبر للجزء الرذاذ بسبب زيادة طوله ، ولهذا يجب على المصمم هنا أن يبحث عن موازنة بين المعالجة ( تحقيق الانحلال الأمثل ) والتكلفة .

## ٢ - الجزء الرذاذ الغاطس في بيئه مائية ضحلة وجارية :

في حالة الرذاادات في جسم مائي ضحل فإن مياه المجاري تميل إلى الخلط الكامل في الاتجاهين الجانبي ( Lateral ) والشاقولي معاً ويكون التركيز الأعظمي على السطح مساوياً تقريباً لتركيز الخلط الكلي . المصدر ( 15 ) درس هذه الحالة من الناحيتين التحليلية وبنماذج فيزيائية معاً . وفي البدء اعتبر الباحثون نظاماً مجري قناة محرة من خلال التصريف ذاته ولقد توضعت الفتحات في المستوى الطبيعي لاتجاه الجريان وعلى بعد  $L$  بين الفتحات . كما افترض أن الجريان في القناة متجانس شاقولياً وجانبياً من حيث السرعة والتركيز

الدوامي للملوшات مع التيارات البحرية  
بشكل نافورة مائية .

\* عمليات الانحلال في الحقل البعيد :  
لم يتطرق اليها البحث .

ب - لنماذج النافورة المائية للملوشات والمقدوفة في مياه البحر عبر مصب بحري هناك توزيعات مختلفة ، اعتمدنا منها توزيع غوص لسهولة حله ، ووضوح تعبيره عن حالات توزيع الملوشات من خلال عوامل وأشكال السرعة والتركيز وتناقض الكثافة . مع مراعاة العاملين النظريين ( عامل الامتداد العرضي  $\lambda$  ) وعامل الانفتاح التوسيعى للنافورة  $\Delta$  ) وقد استخدمنا من القيم التجريبية لهذه العوامل في عرضنا النظري .

ج - وضعنا المعادلات الرياضية التحليلية لنماذج النافورة والمبنية على قوانين التوازن لمصونية الحجم والحركة والكتلة وتناقض الكثافة ، وقد هيأ لنا هذا وضع المبنين النهائية التصميمية للنافورة المائية في الاتجاهين الأفقي والشنقيولي وفي أوساط بيئية متغيرة ومتعددة الكثافة .

د - وضعنا قيمة نظرية تحليلية نهائية للنافورة المائية بالاستناد إلى نتائج المصادر الخاصة بدراسة النماذج التجريبية لهذه النافورة ، بعد أن اثبتنا تقارب نتائج هذه المصادر إلى درجة التطابق .

ه - وضعنا علاقة بسيطة تحدد سمكحة حقل مياه المجاري المغمور بعياه البحر ، والذي يمثل نهاية امتداد نافورة مياه المجاري . و - ايضاح تأثير نهاية المصب ( فتحة واحدة ، أو جزء رذاذ من عدة فتحات ) على على الشكل النهائي للنافورة المائية .

وان التصريفات من فتحات الرذاذات تكون موازية لتيار الوسط المحيط . نلاحظ من العلاقة ( 33 ) انها تمثل فقط الانحلال الناتج عن الخلط المتكامل بينما أنها تمثل نسبة الجريان من الوسط المحيط عند فوهه مصب ذي فتحة واحدة (  $u_1 d_1$  ) الى الجريان عند فتحة واحدة فمن فتحات مصب ينتهي بجزء رذاذ (  $u_0 D^2 / 4$  ) . اذا كان تصريف الرذاذ موجها مع تيارات الوسط المحيط ( المعادلة 31 ) فان سرعات الجريان المنحل (diluted flow) عبر مقطع الرذاذ ستكون أكبر من سرعة تيار الوسط المحيط ، وسيكون الانحلال ( تعدد الملوشات ) أكبر مما هو مقدر في العلاقة ( 33 ) . وفي حال أن الفتحات موجهة بعكس اتجاه التيارات فان الانحلال سيكون أصغر ( العلاقة 32 ) .

### ٣ - خلاصة واستنتاجات :

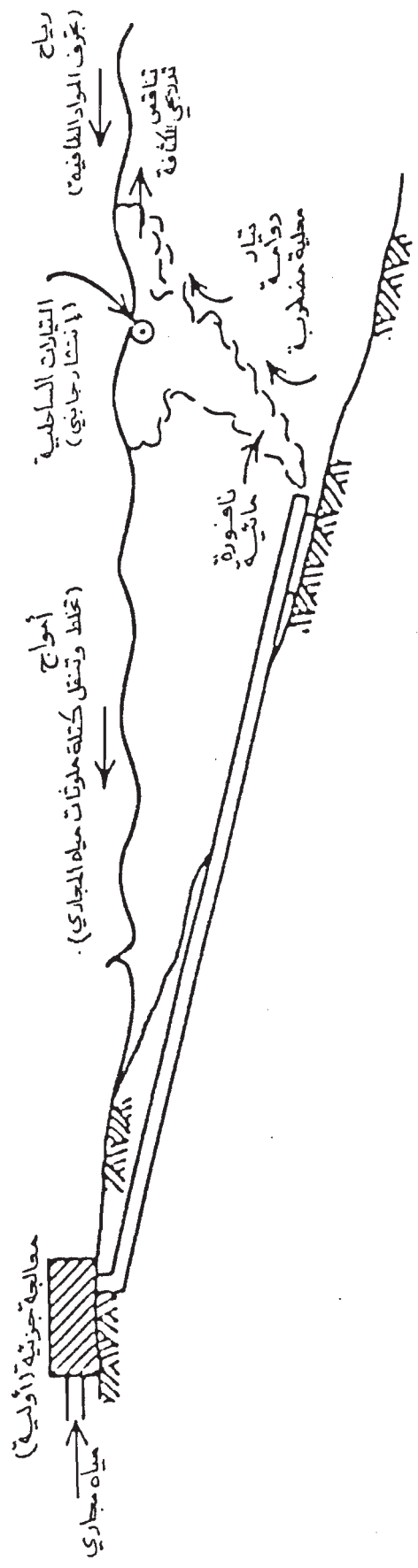
آ - نظراً للعدم وجود نموذج شامل ومتكملاً لميكانيك التيارات البحرية بهدف التنبؤ بعمليات الخلط والانتشار الحاللة لمياه الملوشات المساقبة بواسطه مصب بحري ، فإنه لا بد من دراسة هذا الموضوع من خلال ظاهرتين مستقلتين استناداً إلى حل معادلات الاستمرارية ( المصونية ) والهندسية والحركة «تسمى الظاهرة الأولى»

\* عمليات الانحلال في الحقل القريب ودرستها من خلال نماذج رياضية قائمة على التحليل الهيدروديناميكي للخلط

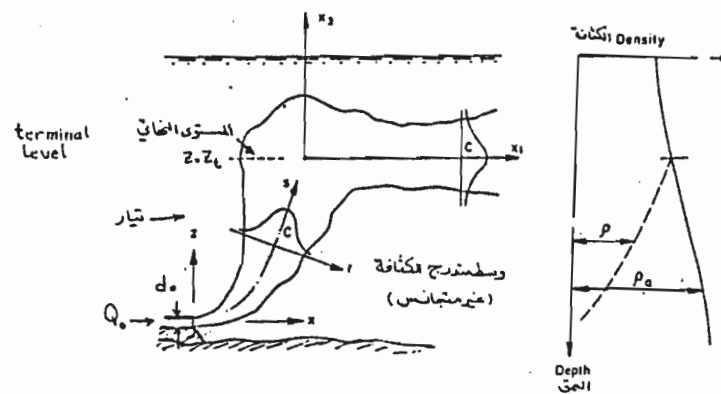
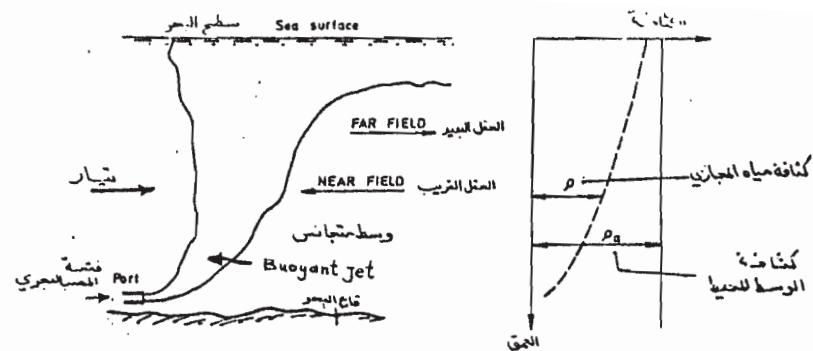
\*\*) ترجمة معطيات الدراسة التنبؤية الرياضية لحساب عمليات انتشار الملوشات المقدوفة عبر المصب البحري في الحقل القريب ، واردة في المثال التصميمي الملحق بالبحث الكامل للمؤلف والمعد بناء على طلب وزارة الدولة لشؤون البيئة في القطر - ١٩٨٤ والمحفوظ لديها .

- الشكل رقم (١١) معدن لصب بحري مع آلية العمل والتأثيرات الجوية.

Submarine outfall.

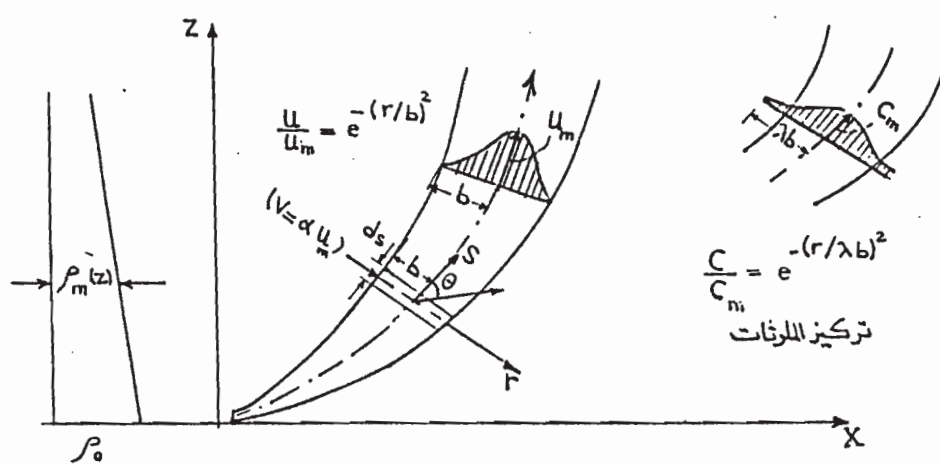
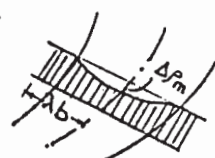


أيضاً: تلذيب الكثارات وتسريب الملوثات العديدة

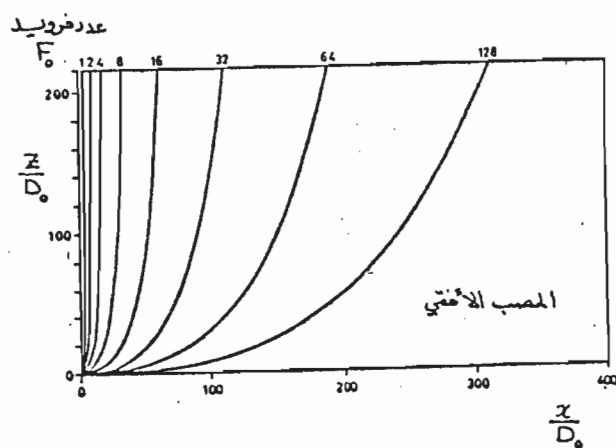
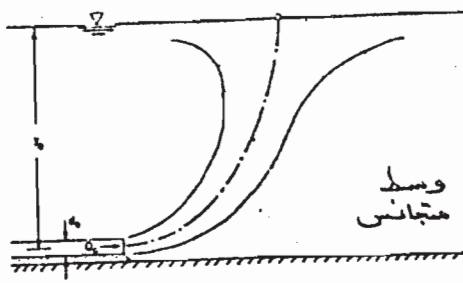


الشكل رقم (2) : نقيض مياه المجاري في المصبات العبرية على شكل تأهورة (Jet) .

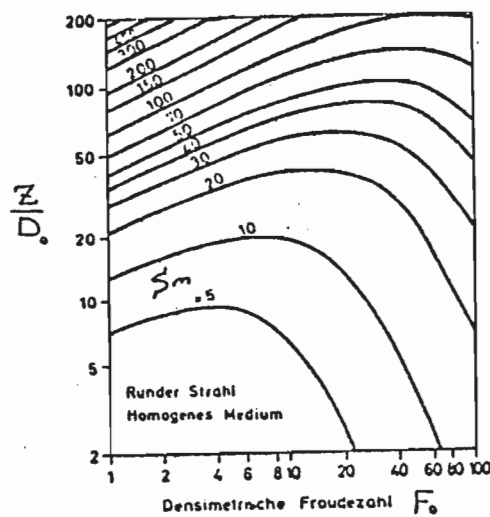
$$\text{تنافس الكثافة} \quad \frac{\Delta\mu}{\Delta\mu_m} = e^{-(r/\lambda_b)^2}$$



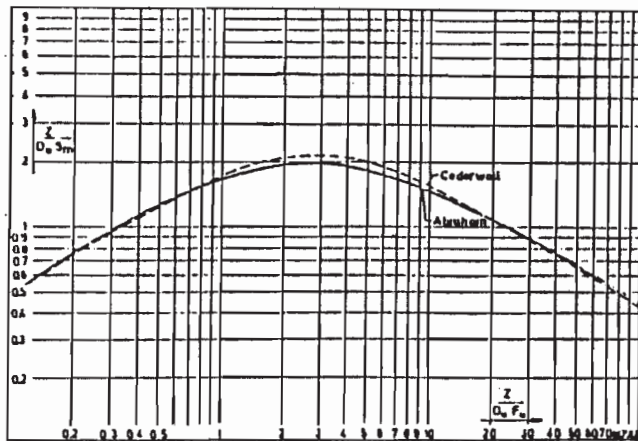
- الشكل رقم (3) : التحليل الرياضي لتأخرية المياه (Jet) باشعاعات ملائمة دائيرية في وسط غير متباين (متغير الكثافة مع المدق).



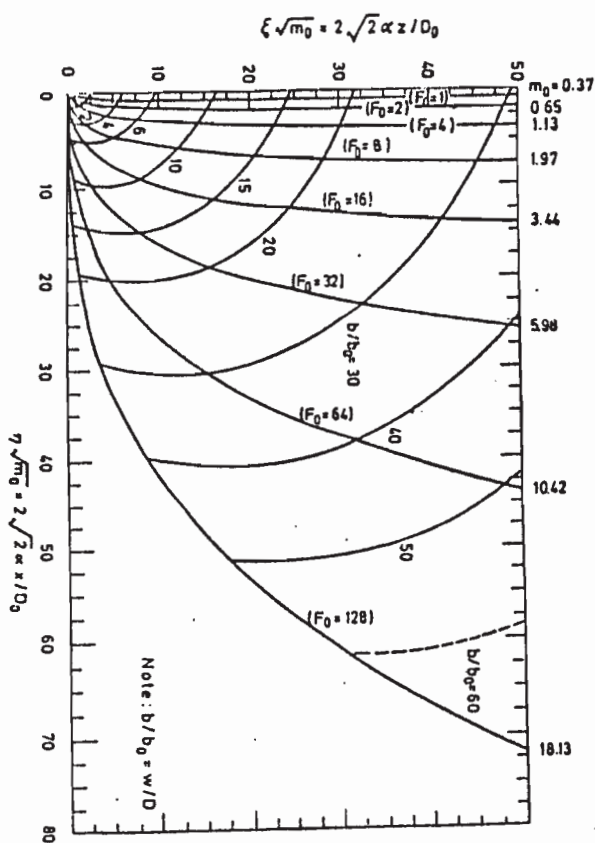
٠- الشكل رقم (٤) : تصريف مياه المجاري من خلال قناة بخالية متوسعة (إتجاه محاور التوزيع).  
~ المصدر ٣



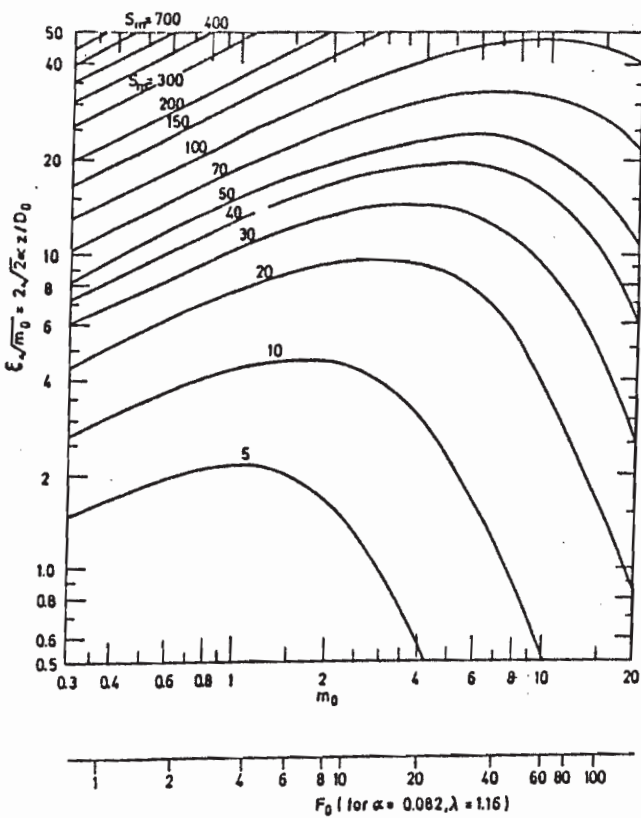
٠- الشكل رقم (٥) : منعطفات تخفيف التركيز لمياه المجاري على طول محاور التوزيع  
إلا شحاعية للمناخرة (Jet) ( $S_m = C_0/C_m$ ) في حالة التقرير المُفْتَى.  
~ المصدر ٣



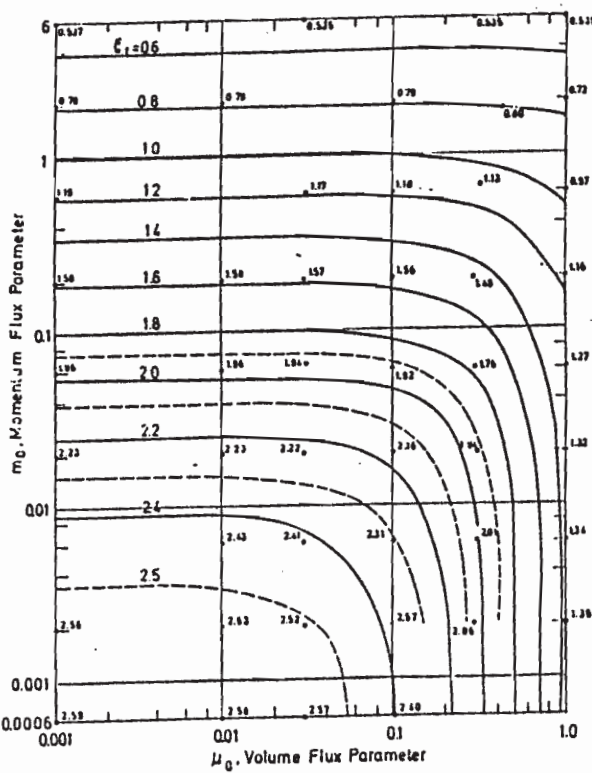
الشكل رقم (6) مقارنة المتتابع التحليلية التجريبية للمصادرتين (5, 4)  
لناهورة مياه مجاري أفقية في وسط مالي مسقطر ذي كثافة واحدة.



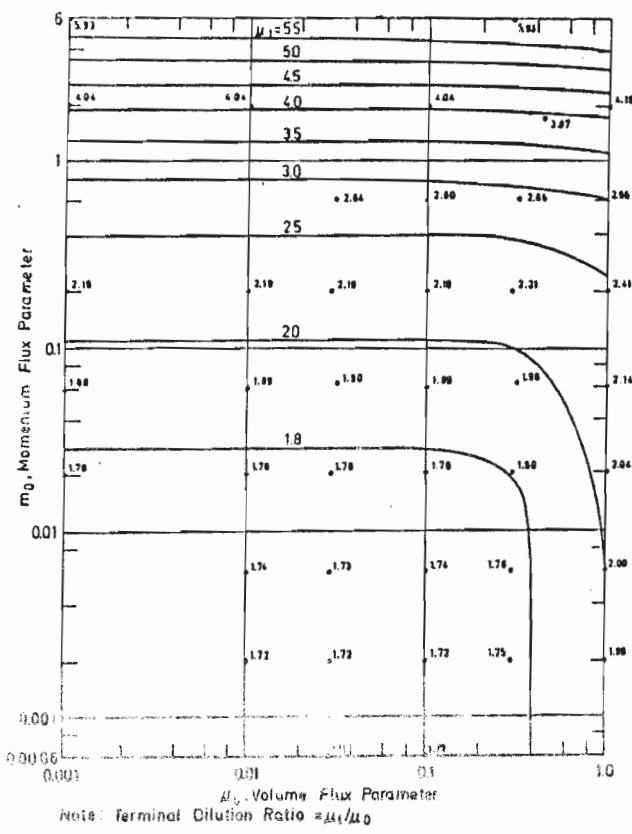
•-الشكل رقم (7) : تحديد قوس النافورة المائية المائية العائمة  
والعرض المائي لها ( $w/b$ ) في وسط مالي  
مسقطر مستقر (بالاستناد إلى قيمة  $\alpha = 0.082$ ).



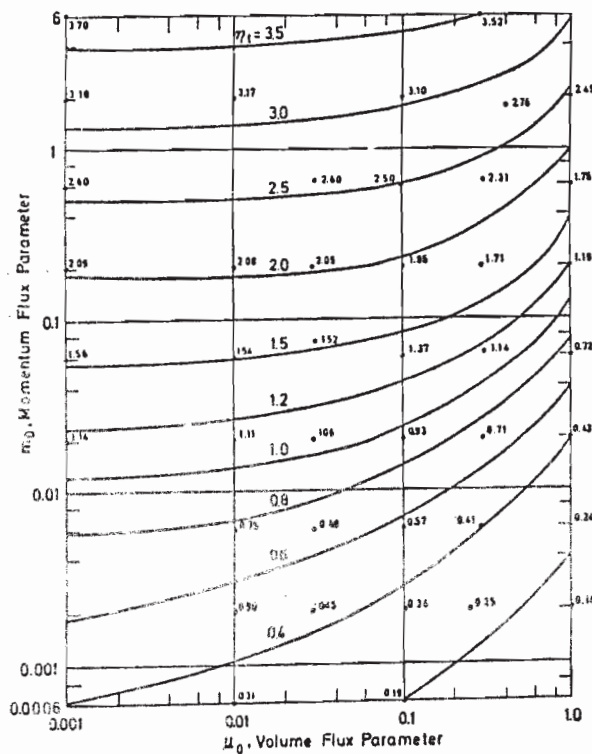
٠- الشكل رقم (٨) : اخلال مياه الناشرة المائية الاصنفية الدائرية العائمة في وسط مستقر ومتباين.



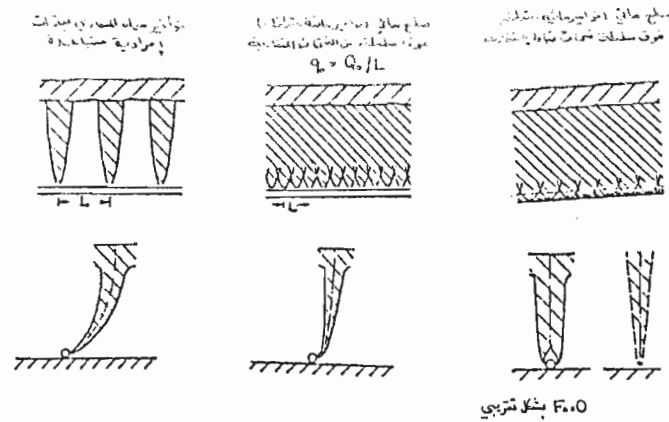
٠- الشكل رقم (٩) : ارتفاع الحقل المائي لـ مياه نافورة مائية اصنفية دائرية عائمة في وسط متغير الكثافة حطبي.



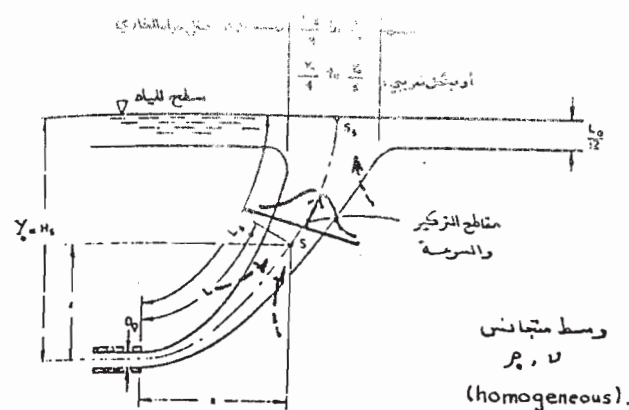
٦- الشكل رقم (١١) : عامل التدفق المجيئ  $\mu_0$  للحمل الخطي لمياه ناخورة مائية  
أفتية دائرية عائمة في وسط متغير الكثافة خطياً.



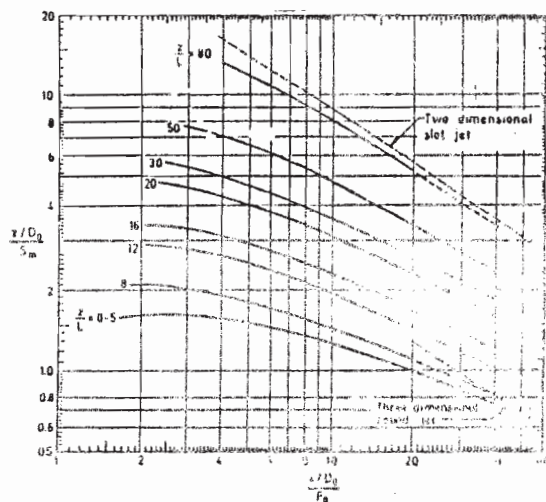
٧- الشكل رقم (١٥) : المسود الأفتقي  $\mu_0$  للحمل النظائي لمياه ناخورة مائية  
أفتية دائرية عائمة في وسط متغير الكثافة خطياً.



ـ الشكل رقم (١٠) : نماذج لفوارات ملمسية (slot jets).



ـ الشكل رقم (١٢) : تصریف مياه للبخاري بشكل فاخرية عائمة (buoyant jet)  
في وسط مائي متباين (المصدر ١٢)  
(في حالة وسط غير متباين راجع المصدر (١٣)).



ـ الشكل رقم (١٤) : المدخل الأصفرى للملوثات على طول مركز النافورة  
المائية الحالية لمجرى رذاذ عديد المغفات في وسط  
مائي مستقر وبكتافة موحدة . (بيان المصدر ٦).

النافورة ، ومن ثم على عملية انحلال  
الملوثات وتوزعها وانتشارها .

ز - ايضاح أثر عمق البيئة البحريه  
على عمل الجزء الرذاذ وبالتالي على شكل

#### REFERENCE

- 1 - Morton, B.R., Taylor, G. I . ,  
and Turner ,J.S., "Turbulent  
Gravitational convection from  
Maintained and Instantaneous  
Sources " , Proc. Royal Society  
of London, A 234, 1956 .
- 2 - Morton , B.R., "Forced Plumes",  
Journal of Fluid Mechanics Vol.  
5, 1959 .
- 3 - Kobus, H., "Anwendung der Dimen-  
sions - analyse in der expermin-  
tellen Forschung des Bauingeni-  
eurwesens " , die Bautechnik ,  
Heft 3 , 1974 .
- 4 - Cederwall , K., "Hydraulics of  
Marine Waste Water Disposal "  
Report N° 42, Hydraulic Division,  
chalmers Institute of Technology  
Goteborg ,Sweden, 1968 .
- 5 - Abraham, G., "jet Diffusion in  
Stagnant Ambient Fluid ", Delft  
Hydraulics Laboratory , publ .  
N° 29, 1963 .
- 6 - Liseth, P., "Mixing of Merging  
Buoyant Jets from a Manifold in  
Stagnant Receiving Water of  
Uniform Density". Technical  
Report HFL 23 - 1, Hydraulic En-  
gineering Laboratory, University  
of California ; Berkeley 1970 .
- 7 - Hansen, J., and Schroder, H .  
"Horizontal Jet Dilution studies  
by Use of Radioactive Isotopes"  
Acta polytechnica Scandinavica,  
Ci 49, 1968 .
- 8 - Fan , L. N., Turbulent Buoyant  
Jets into Stratified or flowing  
Ambient Fluids ",W.M.Keck Labora-  
tory of Hydraulics and Water  
Resources Report N° KH - R - 15  
California Institute of Technology,  
Pasadena , California, 1967 .
- 9 - Fan, L.N., and Brooks, N.H. ,  
"Numerical Solutions of Turbulent  
Buoyant Jet Problems ", W.M.Keck  
Laboratory of Hydraulics and Water  
Resources Report N° KH - R-18 ,  
California Institute of Technology  
Pasadena , California, 1969 .
- 10 - Rawn , A.M., and Palmer,K.H. ,  
"Pre-determining the Extent of a  
Sewage Field in Sea Water",Trans-  
actions of the American Society  
of Civil Engineers, Vol. 94, 1930.
- 11- Abraham, G., and Broisma,A.A.,  
"Diffusers for Disposal of Sewage  
in Shallow Tidal Water".Delft  
Hydraulics laboratory , Publ. N°  
37 , 1965 .

12 - Rawn , A.M, Bowerman,F.R. , and  
Brooks, N.H., "Diffusers for  
disposal of Sewage in sea Water"  
J.Sanitary Eng . Div., proc.  
ASCE , 86, SA2 , Paper N° 2424,  
1960, 65 - 105 .

13- Awad, A., "Sewage Water disposal  
by using sea outfalls".,Journal  
studies and scientific Researche,  
Tishreen University,Lattakia N°1  
Vol., 1988 .

14- Odgaard,J., "Analytical dilution  
models ",Coastal pollution control  
Geneva, Vol.1, 1976 .

15- Harleman, D.R.F., Jirka,G., and  
Stolzenbach,D.K., "A Study of  
Submerged Multi - port Diffusers  
for condenser Water Discharge with  
Application to the Shoreham Nuclear  
Power Station," Ralph M.Parsons  
Laboratory for Water Resources and  
Hydrodynamics , Report N° 139 ,  
Massachusetts Institute of Tech -  
nology , 1971 .

## DILUTION MODELS OF SEWAGE WATER POLLUTANTS IN THE NEAR FIELD OF SUBMARINE OUTFALL .

This study handles the concentration distribution operations analysis of the urban sewage water disposal by sea outfalls . This is achieved through establishing mathematical models relying on hydro - dynamic conditions of water currents eddy mixing with pollutants in the form of a (jet).Consequently, the near field pollutants dilution can be predicted, taking into consideration two conditions of a uniform (stagnant)environment, and the linearly stratified environment. The study has also treated the case of a pollution jet in its submerged position . It has also shown the different types of multiport diffusers in sea outfalls from the viewpoint of the position of ports and the distance between them. The study specifies the most possible diffusers for realizing maximum dilution of pollutants, and this is done in both cases : the deeply submerged diffusers in a stagnant environment, and the shallow flowing one . Researchers in the field of pollutants dilution in sea environment have persisted on establishing various distribution models prescribed for jet into the sea . From these various models , we have accredited 'Gauss Distribution ' which is most applicable and dependable for concluding theoretical mathematical values for pollutants distribution through velocity forms and factors , concentration and density deficiency . The research depends on the basic concepts of equilibrium codes for volume continuity , momentum conservation , mass conservation and conservation of density deficiency in establishing the analytic mathematical equations of jet models that contributed to submission of the final desing curves for jet in both horizontal and vertical directions and in uniform environments with difference in density. The research has had to pursue jet process starting from the outfall through one port or multi - ports diffusers, ending with the submerged sewage water field , illustrating the effect of outfall form and depth of marine environment on outfall action and jet form , and accordingly on polluted water dillution in marine environment